

I-10 補強円孔をもつ板、はりの応力集中

九州大学工学部 正員 後藤恵之輔
ノ 学生員 ○梅本 明宏

1 序

箱形下部橋脚のダイヤフラムおよび達成物のはりなど各種構造物の構成要素には、マニホールド配管用の孔が穿かれていることが多い。これらの孔の縁には通常応力集中緩和のため、リング状フランジと溶接して補強を施すが、リングとはりとの結合部でクラックが発生している例はよく見られるところである。本研究は、円孔を対象として、上記補強を施した場合の板およびはりの応力をリング状フランジの厚さおよび幅をパラメーターとして解析し、応力集中に対する補強効果の定量的検討を行なうものである。なお、問題は2次元混合境界値問題と見なし、解法は複素変数法によるものである。

2 補強円孔をもつはりの解析

2.1 応力関数の誘導 図-1に示すごとく等分布荷重を満載する工型単純はりを考え、リング状フランジの厚さを t_f とし、幅を b_f とする。応力関数を $\bar{\sigma}_1$ 、 $\bar{\sigma}_2$ とすれば、これらははりおよびリングに対して、次のごとく仮定される。

$$\text{はりに對して } \bar{\sigma}_1(z) = b\bar{\sigma}_0(z) + b\bar{\sigma}_1(z) = \sum_{k=0}^{\infty} A_k z^k + \sum_{k=0}^{\infty} a_k z^{-k} \quad (1a)$$

$$\bar{\sigma}_2(z) = b\bar{\sigma}_0(z) + b\bar{\sigma}_1(z) = \sum_{k=0}^{\infty} B_k z^k + \sum_{k=0}^{\infty} b_k z^{-k}$$

$$\text{リングに對して } \bar{\sigma}_1(z) = -\sum_{k=0}^{\infty} C_k z^k + \sum_{k=0}^{\infty} c_k z^{-k} \quad (1b)$$

$$\bar{\sigma}_2(z) = -\sum_{k=0}^{\infty} D_k z^k + \sum_{k=0}^{\infty} d_k z^{-k}$$

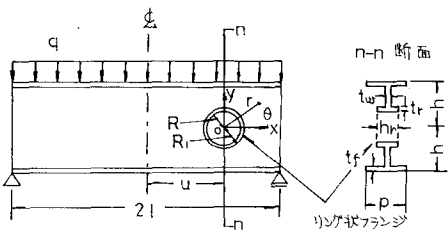


図-1

ここで $Z = x + iy = r e^{i\theta}$, (x, y) : 孔中心を原点とする直角座標, (r, θ) : 極座標で、添字“0”の関数は孔の無いときの応力関数、添字“1”的は孔の存在による付加応力関数である。

次に式(1a)の未定係数 A_k , B_k は、図-1の荷重場における孔の無いはりのウェブの2次元応力により決定できる。すなわち

$$\begin{aligned} b\bar{\sigma}_0(z) &= \frac{q}{16} \left[-\frac{1}{6}z^4 - \frac{2iU}{3}z^3 + i\left(U^2 - U^2 + \frac{3}{5}C^*z^2\right)z^2 - \frac{4}{3}C^*z^3 \right] \\ \bar{\sigma}_0(z) &= \frac{q}{16} \left[8C^* \left(-\frac{4}{3} + U \right)z + i\left(-U^2 + U^2 + \frac{17}{5}C^*z^2\right)z^2 + i\left(\frac{4}{3}Uz^3 + i\frac{1}{2}z^4\right) \right] \end{aligned} \quad (2)$$

ここで $U = 1/2$ スパン, I : もとの孔をもたない工型はりの中立軸に関する断面2次モーメント,
 $C^* = t_f \sqrt{1 + 2pt/t_w t_f}$: 換算けた高

孔縁($r=R$)は通常何ら外力の作用しない自由表面であるゆえ、孔縁にあり3境界条件式として次式が成立する。

$$\begin{aligned} \bar{\sigma}_1(R) + t_f \bar{\sigma}'_1(R) + \bar{\sigma}_2(R) &= 0 \\ \text{共役式をとて } \bar{\sigma}_1(R) + \bar{t}_f \bar{\sigma}'_1(R) + \bar{\sigma}_2(R) &= 0 \end{aligned} \quad (3)$$

ここで $t_f = R e^{i\theta}$

一方、はりとリンク状フランジとの結合部($r=R_1$)においては、応力および変位が連續せねばならぬ。すなわち、はりのヤング率、ポアソン比を E_b, ν_b とし、リンクのそれらを E_r, ν_r として、次の連続条件式が成立する。

$$t_w[\bar{\sigma}_w(t) + t_w\bar{\epsilon}_w(t) + \bar{\psi}_w(t)] = k_r[\bar{\sigma}_r(t) + t_r\bar{\epsilon}_r(t) + \bar{\psi}_r(t)], \frac{1}{\mu_b}[\bar{\epsilon}_b\bar{\sigma}_b(t) - t_b\bar{\epsilon}_b(t) - \bar{\psi}_b(t)] = \frac{1}{\mu_r}[\bar{\epsilon}_r\bar{\sigma}_r(t) - t_r\bar{\epsilon}_r(t) - \bar{\psi}_r(t)] \quad \left. \right\} \quad (4)$$

共役式をとて

$$t_w[\bar{\sigma}_w(t) + t_w\bar{\epsilon}_w(t) + \bar{\psi}_w(t)] = k_r[\bar{\sigma}_r(t) + t_r\bar{\epsilon}_r(t) + \bar{\psi}_r(t)], \frac{1}{\mu_b}[\bar{\epsilon}_b\bar{\sigma}_b(t) - t_b\bar{\epsilon}_b(t) - \bar{\psi}_b(t)] = \frac{1}{\mu_r}[\bar{\epsilon}_r\bar{\sigma}_r(t) - t_r\bar{\epsilon}_r(t) - \bar{\psi}_r(t)]$$

ここで $t_i = R_i e^{i\theta}$

$$H_b = E_b / 2(1+\nu_b), \quad k_b = (3-\nu_b)/(1+\nu_b)$$

$$H_r = E_r / 2(1+\nu_r), \quad k_r = (3-\nu_r)/(1+\nu_r)$$

式(3), (4)に式(1), (2)を代入して Cauchy 積分を行ない、2 の同一べき数の係数を比較すれば、未定係数 $a_n \sim a_4, b_n \sim b_4, C_n \sim C_6, c_n \sim c_4, D_n \sim D_4$ および $d_1 \sim d_6$ に関する 30 元連立方程式がえられる。これらを解くことにより、付加応力関数 $\bar{\sigma}_w(t), \bar{\epsilon}_w(t)$ および $\bar{\sigma}_r(t), \bar{\psi}_r(t)$ が決定され、所要の応力関数が次のとく求められることとなる。

はりに対して $\bar{\sigma}_w(t) = A'_1 Z + i A'_2 Z^2 + i A'_3 Z^3 + i A'_4 (A'_1 + i A'_5) Z^4 + (A'_1 + i A'_6) Z^5 + i A'_7 Z^6 + i A'_8 Z^7$
 $\bar{\psi}_w(t) = (B'_1 + i B'_2) Z + i B'_3 Z^2 + i B'_4 Z^3 + i B'_5 Z^4 + i B'_6 Z^5 + i B'_7 Z^6 + i B'_8 Z^7$ } (5)

リンクに対して $\bar{\sigma}_r(t) = C'_1 Z + i C'_2 Z^2 + (C'_3 + i C'_4) Z^3 + (C'_5 + i C'_6) Z^4 + i C'_7 Z^5 + i C'_8 Z^6 + (c'_1 + i c'_2) Z^7 + (c'_3 + i c'_4) Z^8 + i c'_5 Z^9 + i c'_6 Z^{10}$
 $\bar{\psi}_r(t) = (D'_1 + i D'_2) Z + (D'_3 + i D'_4) Z^2 + i D'_5 Z^3 + i D'_6 Z^4 + i D'_7 Z^5 + i D'_8 Z^6 + (d'_1 + i d'_5) Z^7 + (d'_4 + i d'_8) Z^8 + i d'_9 Z^9 + i d'_{10} Z^{10}$ }

ここに A'_1, A'_2, A'_3, A'_4 などの諸係数は、 $l, u, U, C^*, E, \nu, R, R_1, t_r, k_r$ などの演数である。

2.2 応力、変位 極座標における応力成分 $\sigma_r, \sigma_\theta, \tau_{r\theta}$ および変位成分 U_r, U_θ は Kolosov - Muskhelishvili の公式により応力関数 $\bar{\sigma}_w(t), \bar{\psi}_w(t)$ を用いて次式で決定される。

$$\sigma_r = \operatorname{Re}[2\bar{\sigma}_w(t) - e^{i\theta}(\bar{\epsilon}_w(t) + \bar{\psi}_w(t))], \quad \sigma_\theta = k_r[2\bar{\sigma}_r(t) + e^{i\theta}(\bar{\epsilon}_r(t) + \bar{\psi}_r(t))], \quad \left. \right\} \quad (6)$$

$$\tau_{r\theta} = \operatorname{Im}[e^{i\theta}(\bar{\epsilon}_w(t) + \bar{\psi}_w(t))]$$

$$U_r = \frac{1}{2\pi} \operatorname{Re}[e^{-i\theta}(k_r \bar{\sigma}_r(t) - \bar{\epsilon}_r(t) - \bar{\psi}_r(t))], \quad U_\theta = \operatorname{Im}[e^{-i\theta}(k_r \bar{\sigma}_r(t) - \bar{\epsilon}_r(t) - \bar{\psi}_r(t))] \quad (7)$$

ここに Re は [] 内の実数部を、 Im は [] 内の虚数部を示す。

2.3 算例および考察

A 等分布荷重を満載する単純ばかり クラックの発生がよくみられるはりのリンク状フランジとの結合部における応力のうち最も値の大きき部分を第1象限、第2象限につき、リンク状フランジの増幅比 $H (= k_r/t_r)$ を変数として、図-2～4に示す。図-5, 6 は $U/l = 0.5$ のとき $R/r = 1.10$

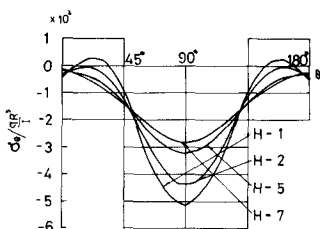


図-2 $R/r = 1.10, U/l = 0$

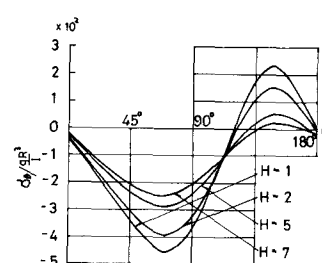


図-3 $R/r = 1.10, U/l = 0.5$

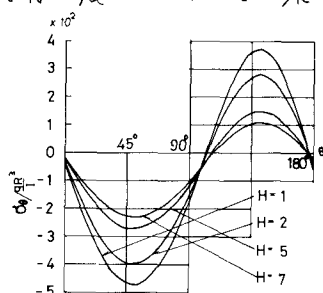


図-4 $R/r = 1.10, U/l = 0.8$

の場合と $R_1/R = 1.20$ の場合について、 $\theta = 90^\circ$ 断面におけるリンク状フランジおよびはり内部の応力を、 H を変数として示し、図-7は H を一定とした場合の δ_{max} と R_1/R との関係を示すものである。なお、スパンや断面に実しては $R_1/k = 0.4$ 、 $l/k = 10.0$ 、 $b_{fl}/t_{wh} = 0.64$ を用い、 $\mu_b = \mu_r$ 、 $E_b = E_r$ とした。

図-2～4を参照して、応力分布は孔の位置により大きな差異を生じるが、孔の位置の如何を問わず、 H をなんらかのリンク状フランジの幅を増すにつれて応力が減少している。図-5、6により、 H が増大するにつれてリンク状フランジとはりとの結合部において、応力のくいちがいか大きくなる。また、 $R_1/R = 1.10$ の場合で、 $H = 2$ すなわちリンク状フランジの幅をウェブ厚の2倍にすることにより、応力を著しく減少しうることが明らかとなる。だが、 H をあまり大きくしてもそれほど効果がないことも $H = 4$ の曲線を見るとわかる。

この結果は無限板に対する計算された Gurney の結果¹⁾と同一傾向である。また、前報²⁾において $H = 1.0$ 、 $R_1/R = 1.10$ でヤンク率比 E_b/E_r を変化させた場合、リンクの応力がウェブのそれに比較して大きな値となるが、本報ではリンク状フランジの応力はいずれもウェブの応力よりも小さくなっている。なお、補強の無い場合 ($H = 1.0$)において、ウェブのトップにおける応力が孔縁応力よりも大きな値となっているが、これは孔の大きさと $R_1/k = 0.4$ をとったためで、孔が大きければ

孔縁応力はウェブのトップにおける応力よりも大きくなり、上記の補強効果が裏切られると思われる。図-7より、 δ_{max} は、 R_1/R の増加するにつれてリンク状フランジの幅が増すに伴ない初めは急減するが、だいぶ緩やかに減少を示すことが認められる。

B. 等分布荷重を満載する片持ばかり Aで述べた単純ばかりの場合と同一傾向が考察されるゆえ、ここでは応力分布例を図-8～10

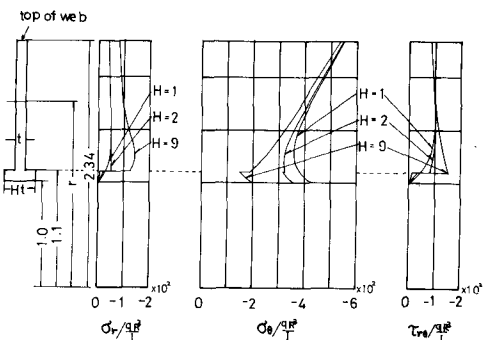


図-5 $U/e = 0.5 \quad R_1/R = 1.10$

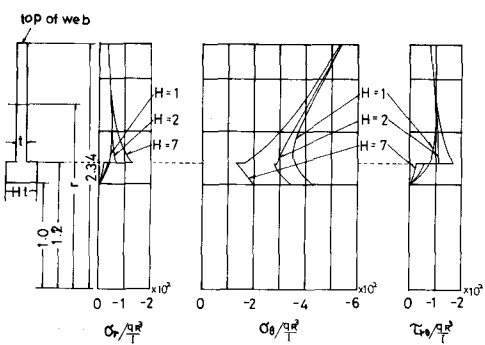


図-6 $U/e = 0.5 \quad R_1/R = 1.20$

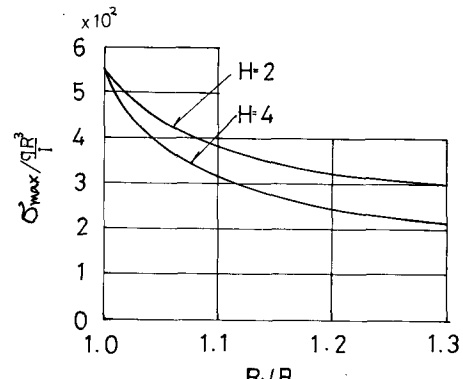


図-7

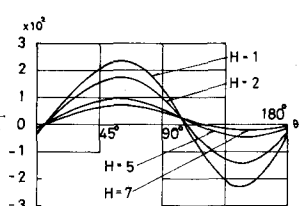


図-8 $R_1/R = 1.10, U/e = 0.5$

に示すととめる。

3 構造内孔を有する正方形板の解析

3.1 応力関数および応力 応力関数ははりに列

すると同じ式(1)で仮定され、孔縁における境界条件式および板とリング状フランジとの結合部における連続条件式も、はりの場合と同一の式(3), (4)が成立する。

式(3)の境界条件式とリーリングの応力関数の係数のうち C_k, d_k が別の係数 C_k, D_k により表示される。また、式(4)の連続条件式を適用することにより、係数 C_k, D_k および A_k, B_k が A_k, B_k の関数として表わされる。結局、応力関数は未定係数として A_k, B_k のみを含み、応力 $\sigma_x, \sigma_y, \tau_{xy}$ は A_k, B_k のみを用いて決定されることとなる。次に外縁の境界条件式として、次式が成立する。

$$\begin{aligned} x = L \text{ において } \sigma_x &= T, \quad \tau_{xy} = ST \\ y = L \text{ において } \sigma_y &= \lambda T, \quad \tau_{xy} = ST \end{aligned} \quad (8)$$

$x = L$ および $y = L$ において選点法を適用し、例えば 図-12 に示すとおり 10 個の点で式(8)を近似的に満足させる。しかると、各点で 2 値、全点で 20 値の条件式が成立するゆえ、未定係数は、 A_1, A_3, \dots, A_{19} および B_1, B_3, \dots, B_{19} の 20 個となる。かくしてこれら 20 元連立方程式を解くことによりこれらの未定係数が決定され、すべての応力

が求められる。よって、所要の応力成分はこの応力関数を式(6)に代入することにより求まることとなる。計算結果については講演時に述べる。

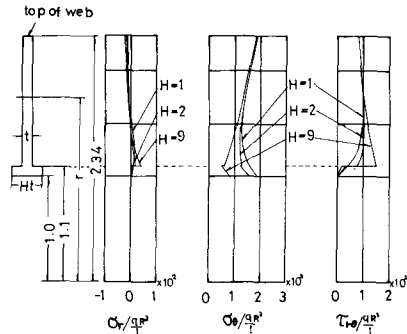


図-9 $U/R = 0.5, R_t/R = 1.10$

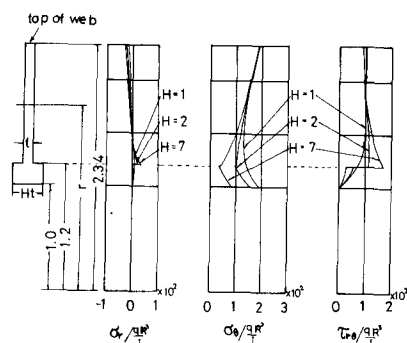


図-10 $U/R = 0.5, R_t/R = 1.20$

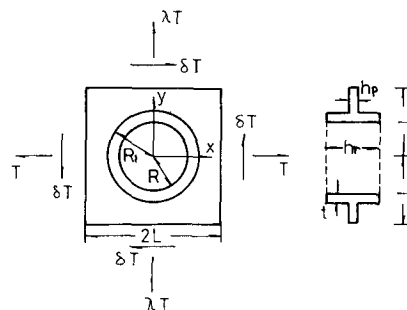


図-11

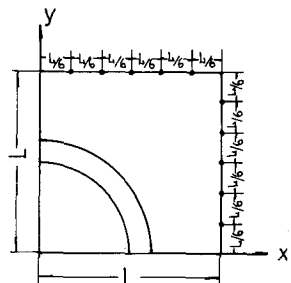


図-12

(参考文献)

1) C. Gurney, A. R. C., R. & M. No. 1934, Feb 1938, pp. 663-687

2) 後藤恵之輔・梅本明典, 第25回土木学会年次学術講演会講演論文集, 昭和45年11月, pp. 209-212